

F-chart 設計法에 의한 太陽熱住宅의 暖房性能에 關한 研究

(A Study on the Thermal Performance of a
Solar House by a F-chart Method)

李 永 秀 * 徐 廷 一 ** 任 將 淳 ***

(Lee, Young soo) (Seoh, Jeong Ill) (Yim, Jang Soon)

ABSTRACT

This paper presents a method for estimating the useful output of solar heating systems. Heating load calculations, climatic data and various conditions are used in this procedure to estimate the fraction of the monthly heating load supplied by solar energy for a particular system. The design procedure presented in this paper referred to the f-chart method.

The results of this study are as follows;

- 1) The collected energy is not raised linearly to collector area.
- 2) If the heating area has equivalent solar collector area, the solar energy utilization for space heating is over 90%.
- 3) Transmittance - absorptance product for radiation at normal incidence, $(\tau\alpha)/(\tau\alpha)_n$, during most of the heating season is 0.92 for a two-cover collector.
- 4) Orientation of the collector has little effect on the annual performance of solar heating system within the 15°

NOMENCLATURE

A ; Collector Area(m^2)

C_{min} ; Minimum capacitance rate in a

heat exchanger (W/C)

C_p ; Specific heat ($J/kg \cdot ^\circ C$)

E ; Total auxiliary energy (J)

f ; Fraction of monthly load supplied by solar energy

F ; Fraction of the annual load supplied by solar

F_R ; Collector heat removal efficiency factor

* 正會員 漢陽大學校 大學院

** 正會員 漢陽大學校 工科大學

*** 正會員 仁河大學校 工科大學

F_R'	; Collector heat exchanger efficiency factor	ient ($\text{Kcal}/\text{hr}m^2\text{C}$)
G	; Collector mass flowrate per unit collector area (kg/s)	ϵ_c ; Effectiveness of the Collector-tank heat exchanger
H	; Monthly average daily total radiation on a horizontal surface per unit area ($\text{J}/\text{month}\cdot m^2$)	ρ ; Ground reflectance
H_d	; Monthly average daily diffuse radiation on a horizontal surface per unit area ($\text{J}/\text{month}\cdot m^2$)	τ ; Transmittance of collector cover system
H_T	; Monthly average daily total radiation on a tilted surface per unit area ($\text{J}/\text{month}\cdot m^2$)	α ; Absorptance of the collector plate surface
I_T	; Rate of solar radiation incident on a tilted surface per unit area ($\text{Kcal}/\text{hr}\cdot m^2$)	$(\tau\alpha)_n$; Transmittance-absorptance product for radiation at normal incidence
L	; Monthly total space and Water heating load (J/month)	$(\tau\alpha)$; Monthly average transmittance - absorptance product
n	; Day of the year Jan 1=1, Dec 31 = 365	ϕ ; Latitude ($^\circ$)
N	; Number of days in a month or number of years	δ ; Solar declination ($^\circ$)
Q_T	; Total energy collected during a month (J)	W_s ; Sunset hour angle for horizontal surface ($^\circ$)
Q_u	; Rate of useful energy collection (Kcal/hr)	W_s' ; Sunset hour angle for tilted surface ($^\circ$)
R_b	; Ratio of monthly average daily beam radiation on a tilted surface to that on a horizontal surface	
S	; Angle between the plane of the collector and horizontal ($^\circ$)	
T_a	; Ambient temperature (C)	太陽熱住宅에 있어서集熱面積은集熱量을決定하는重要的因子로서暖房負荷에 따라 그크기가決定된다。一般으로集熱量은集熱面積에線型的으로比例하지 않으므로太陽熱住宅에서集熱面積은氣象條件, 集熱 및蓄熱裝置의性能, 暖房負荷를考慮하여電算Simulation法을使用하거나f-chart設計法을利用하여구하여야한다。
T_{in}	; Temperature of fluid entering a solar collector (C)	集熱面積에 따른集熱量의變化에對한實驗은Rao와Suri에 의하여遂行되었다。이들은간단한太陽熱溫水裝置를만들어集熱面積의增加에 따른1日間의集熱量增加值을實驗으로구하였다。이結果에의하면集熱面積
T_{ref}	; Reference temperature (100 c)	
U_L	; Collector energy loss coefficient	

I. 序論

太陽熱住宅에 있어서集熱面積은集熱量을決定하는重要的因子로서暖房負荷에 따라 그크기가決定된다。一般으로集熱量은集熱面積에線型的으로比例하지 않으므로太陽熱住宅에서集熱面積은氣象條件, 集熱 및蓄熱裝置의性能, 暖房負荷를考慮하여電算Simulation法을使用하거나f-chart設計法을utilization하여구하여야한다。

集熱面積에 따른集熱量의變化에對한實驗은Rao와Suri에 의하여遂行되었다。이들은간단한太陽熱溫水裝置를만들어集熱面積의增加에 따른1日間의集熱量增加值을實驗으로구하였다。이結果에의하면集熱面積

이增加함에 따라 集熱量은 增加하나 그比率은 減少하는 것으로 나타났다. 그리고 Lof, Ward와 Jordan 등은 集熱面積에 따른 太陽熱住宅의 性能과 經濟性에 關한 研究를 하였다. 또한 最近 地域的 太陽熱暖房의 資料를 利用 모델화하여 設計節次를 電算化하려는 努力이 고조되고 있다. Oonk, Beckman와 Klein等은 代表的 太陽熱暖房系統의 모델을 設定하여 動的熱舉動에 대한 數學的 表現과 그 解를 얻기 위한 電算프로그램을 作成하여 여기에 經驗에서 얻은 系統性能에 關한 資料를 入力으로 하여 필요한 設計資料를 얻도록 試圖하였다.

本研究에서는 太陽熱住宅모델을 選定하여 集熱, 蓄熱等 諸裝置에 對한 性能式을 誘導하고, 暖房期間동안의 月平均 時間別 水平面 日射量, 外氣溫度, 風速等 氣象資料를 調査하여 集熱面積에 따른 暖房性能, 太陽熱暖房率을 f-차아트 設計法에 의하여 구하고자 한다

II. 性能解析

II-1. 太陽熱住宅모델

Fig.1은 典型的인 液體式 太陽熱시스템을 나타내었다. 本研究에서는 이 시스템이 100 m^2 (약 30坪) 규모의 住宅暖房과 4人 가족을 위한 温水供給을 目的으로 하고 集熱器의 凍破와 腐蝕을 최소로 하기 위해 集熱媒體로서 不凍液을 사용한 分離回路 方式을 采한다. 流量은 集熱器面積 1 m^2 當 $54\ell/\text{hr}$ ($0.015\ell/\text{s}$)이며 이 流量에서 集熱熱交換器의 有効係數는 0.7이고 集熱器는 지붕에 設置되어 있으며 그 傾斜角은 52° 이다. 또한 蓄熱槽은 集熱面積 1 m^2 當 75ℓ 의 水槽式이고 1人當 1日 温水使用量은 60°C 50ℓ 로 한다. 放熱器로는 低温流體라도 暖房이 可能한 팬 코일 유니트 (Fan coil unit)를 사용하였으

며 最低流入溫度는 40°C 로, 建物의 設計 暖房負荷를 6800 Kcal/hr 로 設定하였다.

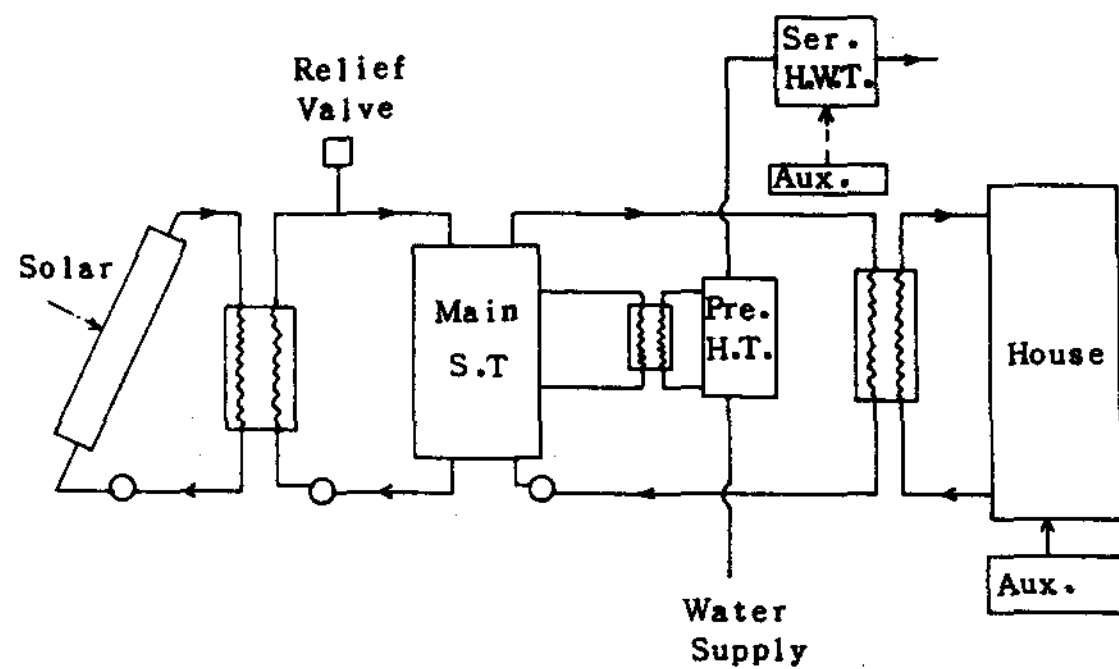


Fig.1 Schematic Diagram of a Liquid-Based Solar Heating System

II-2. 理論解析

太陽熱住宅의 性能을 評價하기 위해서는 傾斜面入射熱量을 算出하여 集熱裝置蓄熱裝置等의 热平衡式을 誘導하여야 한다.

南向 傾斜面에서의 月別 日平均 日射量을 算定하는 方法은 Liu와 Jordan에 의해서 開發되었고 이 방법은 Klein에 의해서 集熱面이 南向에서 東 또는 西向으로 方位角을 가질 경우에도 實驗資料를 토대로 月別 日平均 日射量을 算出할 수 있도록 擴張하였다. 이들은 傾斜面 日射量을 直達 (Beam Radiation), 擴散 (Diffuse Radiation) 및 反射 (Reflect Radiation) 輻射成分으로 나누어 換算하였다. 즉 南向面의 月別 日平均 傾斜面 日射量 H_T 는

$$H_T = [(1 - H_d/H) R_b + (H_d/H)(1 + \cos S)/2 + \rho(1 - \cos S)/2] H \dots\dots\dots (1)$$

로 表示되며 이 式에서 集熱面이 南向으로 부터 15° 이상의 方位角을 가지면 R_b 는 다음과 같다.

$$R_b = \frac{\cos(\phi - s) \cos \delta \sin w_s'}{\cos \phi \cos \delta \sin w_s}$$

같이 表示된다。

$$f = 1.029 Y - 0.065 \times -0.245 Y^2 + 0.0018 X^2 + 0.0215 Y^2 \dots \dots \dots \quad (11)$$

暖房負荷의 計算에 있어서 設計溫度는 18 °C

로 設定 하였으며 이와같은 方法으로 太陽熱住宅의 暖房性能을 評價하고 暖房面積에 대한 集熱面積比, β 에 따른 太陽熱 暖房率을 구하였다.

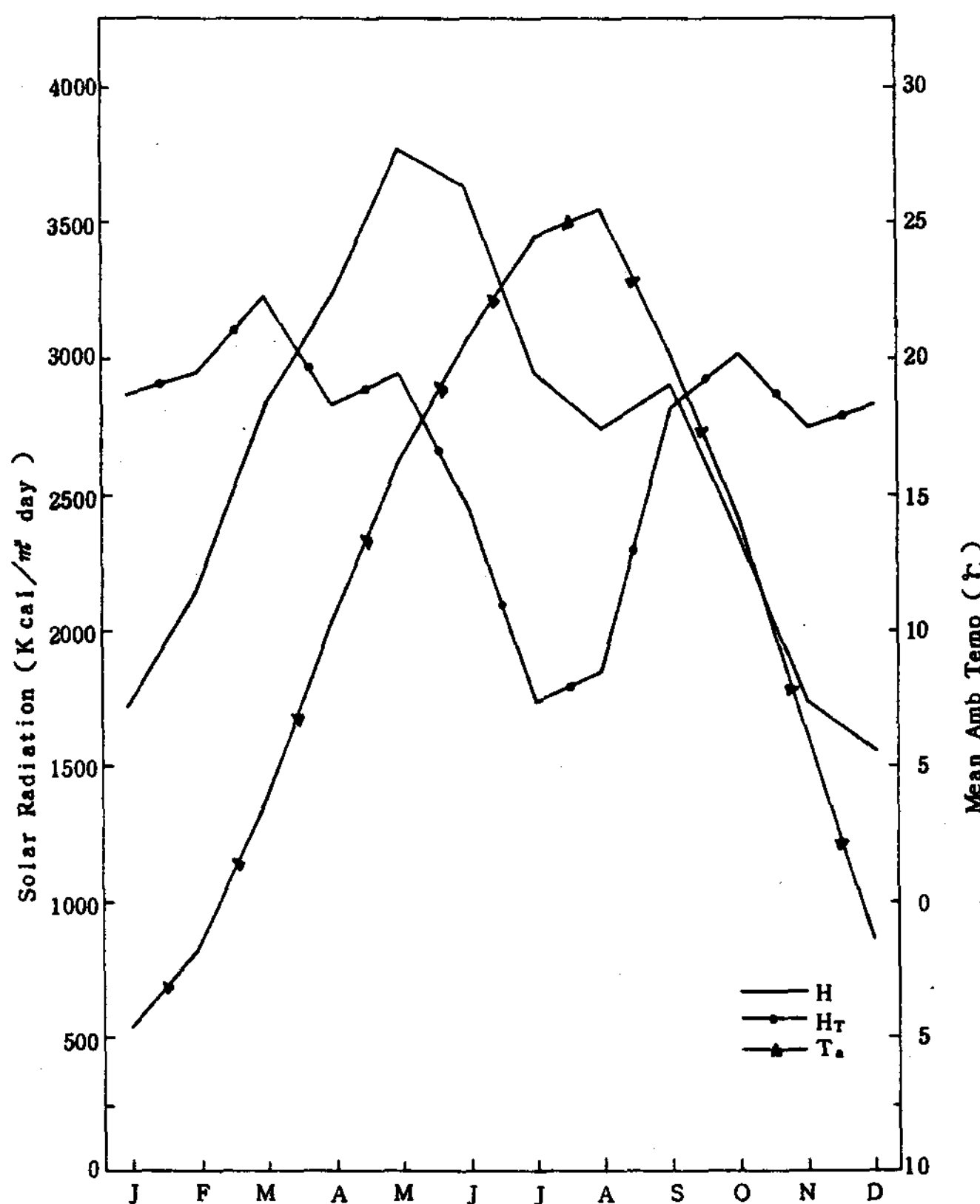


Fig.2 Solar radiation in Seoul

III. 結果 및 考察

1972 年에서 1976 년사이 서울地方의 1 年間의 平均 水平面 및 傾斜面 日射量 外氣溫度 等 氣象條件을 Fig 2에 圖示하였다. 그림에서 10 月부터 3 月까지 入射한 平均 水平面 日射量은 2081 ($Kcal/m^2 day$) 이고 平均 傾斜面 日射量은 2952 ($Kcal/m^2 day$)로 水平面에 비해 1.42 배이고 水平面 日射量이 集熱面에 吸

收된 分布를 보면 直射熱量이 70 %, 擴散熱量이 20 %, 反射熱量이 2 %로 構成되어 있다. 다음은 集熱面積이 增加할 때 集熱量의 變化를 Fig 3에 圖示하였다. 이 그림에서 集熱量은 集熱面積에 正比列하지 않으며 그 增加比가 減少하는 事實을 알 수 있다. 이것은 集熱面積이 增加하면 集熱器의 効率이 減少하기 때문이다.

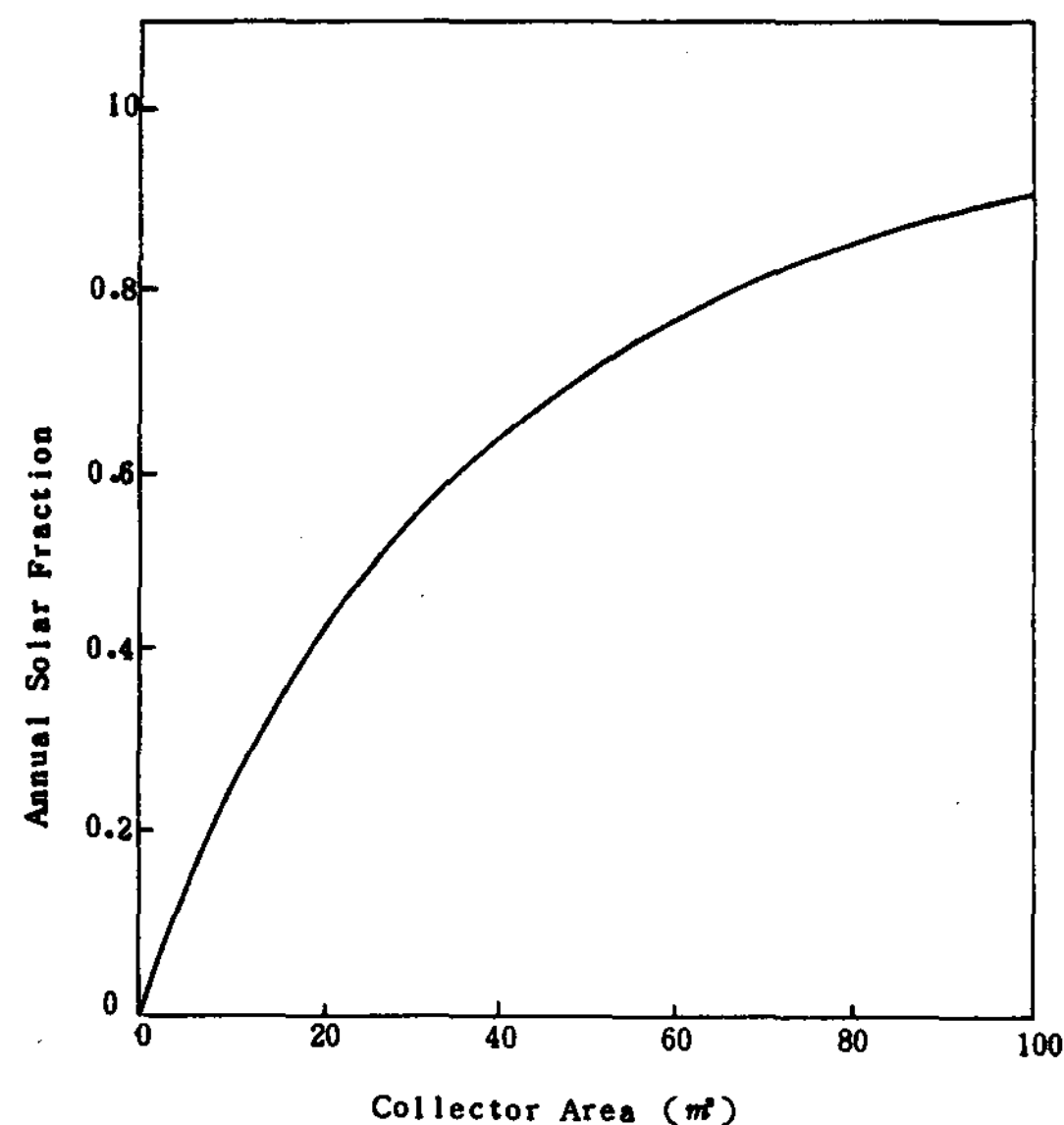


Fig.3 Annual Load Fraction Supplied by Solar Energy

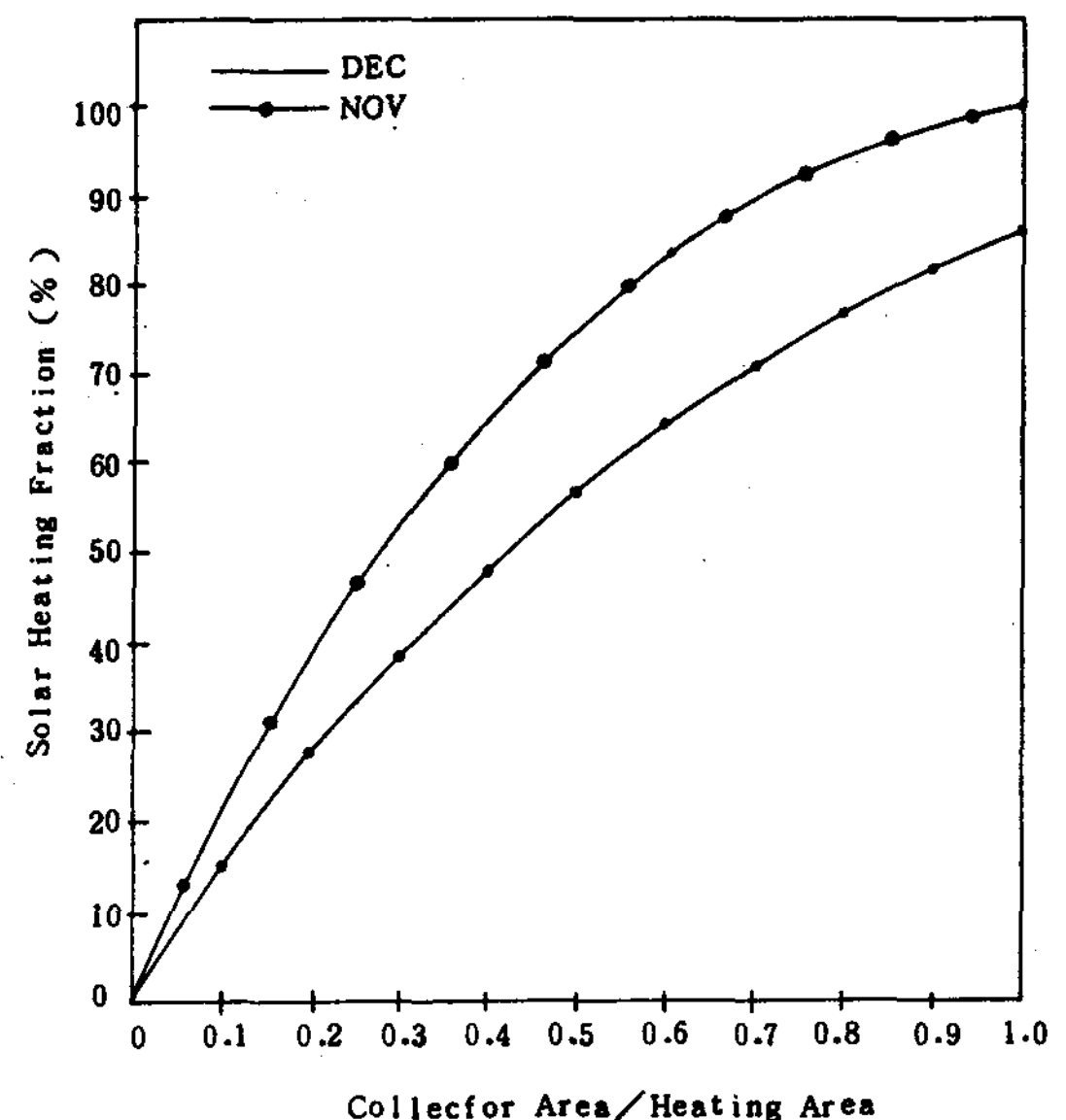


Fig.5 Solar heating ratio vs. Collector area

Fig.4,5는 暖房面積에 對한 集熱面積比 β 에 따른 太陽熱 暖房率을 圖示한 그림이다.
이 그림에서 1月의 경우 太陽熱 暖房率의 曲線이 比較的 완만하게 增加하므로 $\beta=0.5$ 일 경우 53 %에 이르며 $\beta=1.0$ 일 경우 82 %

에 이르고, 2月과 12月의 경우는 $\beta=0.5$ 일 경우 58 %, $\beta=1.0$ 일 경우 87 %에 이른다. 또한 3月과 11月의 경우는 太陽熱 暖房條件이 良好하여 $\beta=0.5$ 일 경우 78 %, $\beta=1.0$ 일 경우 99 %에 이른다.

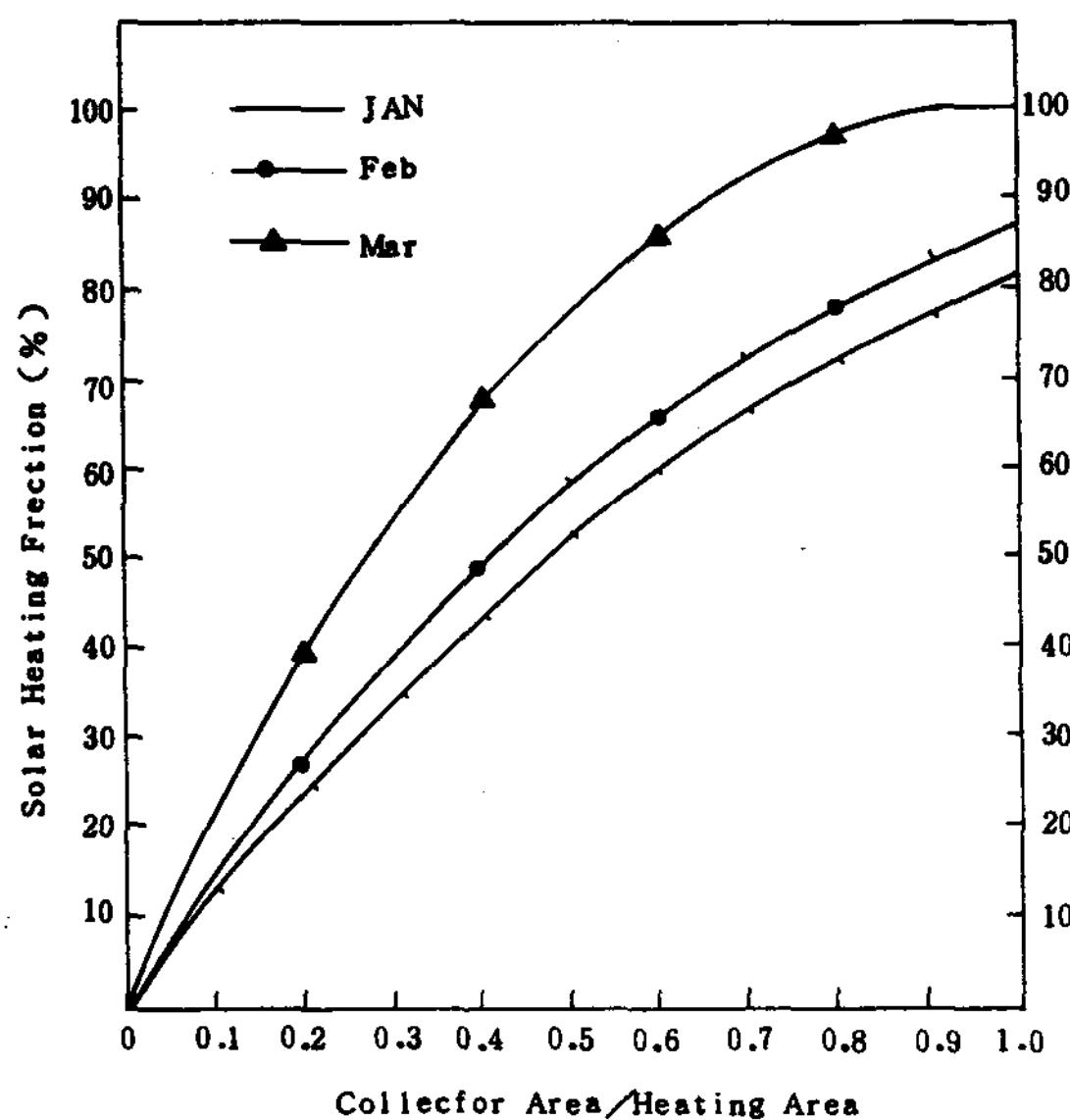


Fig.4 Solar heating ratio vs. Collector area

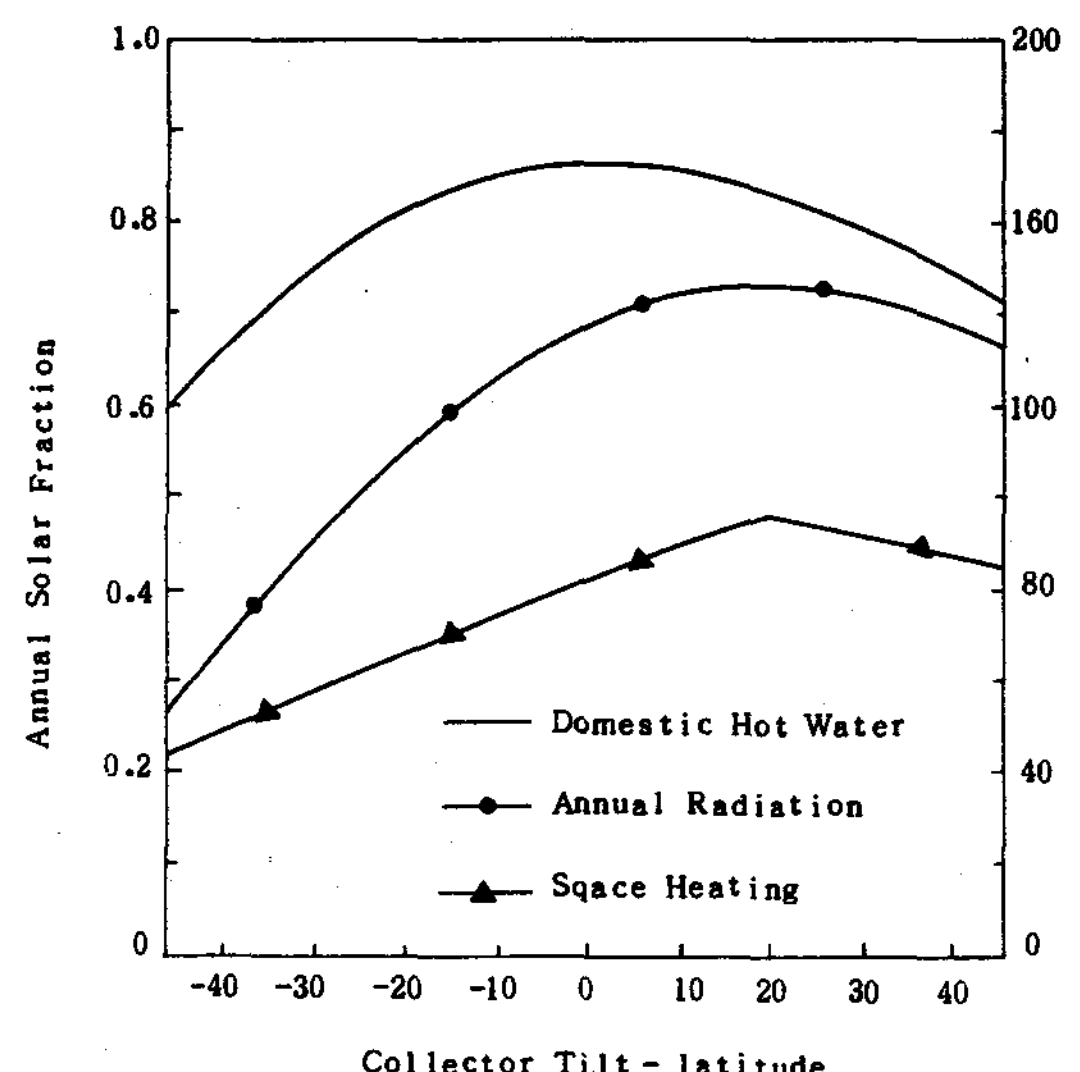


Fig.6 Effect of Collector Orientation

Fig. 6은 太陽熱 集熱器 向의 最適值를 나타낸 것으로 集熱器의 設置 方位角은 정남향이고 傾斜角은 緯度보다 10° 내지 15° 가량 더 큰 값이다. 고로 $\pm 15^{\circ}$ 범위내로 集熱器를 設置한다면 太陽熱시스템의 年間 集熱性能에는 거의 차이가 나지 않는다는 것을 알 수 있다.

IV . 結 論

本研究의 結論은 다음과 같다.

- (1) 集熱量은 集熱面積에 線型的으로 比例 하지 않으며 集熱面積이 $100 m^2$ 일 경우 集熱量은 比例值보다 약 27 % 정도 減少한다.
- (2) 暖房에 利用된 太陽熱의 量은 集熱面積과 暖房面積이 同一한 경우 약 90 %이였다.
- (3) 暖房期間중 透明板이 2 매인 경우 서울지역에서는 $(\tau\alpha) / (\tau\alpha)_n$ 이 약 0.92 정도이다.
- (4) 集熱器 設置方向은 最適值에서 $\pm 15^{\circ}$ 범위 이내에서는 太陽熱시스템의 年間集熱性能에 있어서는 거의 차이가 나지 않는 것으로 간주된다.

參 考 文 獻

1. S.K.RAO and R.K. SURI, Optimization of Flat-Plate Solar Collector Area, Solar Energy, Vol.12, PP.531-535, 1969
2. D.S.Ward and G.O.G. Lof, Desing and Construction of a Residential Solar Heating and Cooling System,

- Solar Energy, Vol.17, PP.13-20, 1975
3. B.Y.H.Liu and R.C. Jordan, The Long -Term Average Performance of Flat Plate Solar Energy Collectors, Solar Energy, Vol.7, PP.53, 1963
4. M.C. Pereira and A.Rabl, Simple Procedure for Predicting long term average Performance of Non concentrating and of Concentrating Solar Collectors, Solar Energy, Vol.23, PP.235-253, 1979
5. D.J.Close, A Design Approach for Solar Process, Solar Energy, Vol.11, No.2, 1967
6. W.A. Beckman, S.A. Klein and J.A. Duffie, Solar Heating Design by the f-chart method, John Wiley Inc, 1977
7. J.A. Duffie and W.A. Beckmann, Solar Engineering of thermal Process, John Wiley Inc, 1980
8. S.A. Klein, Calculation of Monthly Average insolation on tilted Surface, Solar Energy, Vol.19, PP.325-329, 1977
9. S.A. Klein, W.A. Beckman and J.A. Duffie, A Design Procedure for Solar Heating Systems, Solar Energy Vol.18, PP.113-127, 1976
10. ASHRAE Handbook 1981 Fundamentals, American Society of Heating, Refrigeration and Air-Conditioning Engineers Inc.

Appendix I

Solar Heating Load Fraction

Month	c.X/A	c.Y/A	$\beta = 1$				0.9			
			X	Y	F		X	Y	F	
Dct	0.172	0.063	16.72	6.12	1.00	903500	15.05	5.51	1.00	903500
Nov	0.093	0.029	9.04	2.82	1.00	1740600	8.14	2.54	0.98	1705788
Dec	0.065	0.019	6.32	1.85	0.86	2400088	5.69	1.66	0.82	2288456
Jan	0.058	0.017	5.64	1.65	0.82	2664918	5.07	1.49	0.78	2534922
Feb	0.062	0.019	6.03	1.85	0.87	2321856	5.42	1.66	0.83	2215104
Mar	0.079	0.028	7.68	2.72	1.00	2169800	6.91	2.45	1.00	2169800

0.8				0.7				0.6			
X	Y	F		F	Y	F		X	Y	F	
13.37	4.90	1.00	903500	11.70	4.29	1.00	90500	10.03	3.67	1.00	903500
7.23	2.26	0.95	1653570	6.33	1.97	0.90	1566540	5.42	1.69	0.84	1462104
5.05	1.48	0.77	2148916	4.42	1.29	0.71	1981468	3.79	1.11	0.65	1814020
4.51	1.32	0.72	2339928	3.95	1.16	0.67	2177433	3.38	0.99	0.60	1949940
4.82	1.48	0.78	2081664	4.22	1.29	0.72	1921536	3.62	1.11	0.69	1841472
6.14	2.18	0.97	2104706	5.38	1.91	0.92	1996216	4.61	1.63	0.86	1866028

0.5				0.4				0.3			
X	Y	F		X	Y	F		X	Y	F	
8.36	3.06	1.00	903500	6.69	2.45	1.00	903500	5.02	1.84	0.92	831220
4.52	1.41	0.77	1340262	3.62	1.13	0.67	1166202	2.71	0.85	0.55	957330
3.16	0.92	0.57	1590756	2.53	0.74	0.48	1339584	1.90	0.55	0.38	1060504
2.82	0.83	0.53	1722447	2.26	0.66	0.44	1429956	1.69	0.50	0.35	1137465
3.01	0.92	0.58	1547904	2.41	0.74	0.49	1307712	1.81	0.55	0.38	1014144
3.84	1.36	0.78	1692444	3.07	1.09	0.68	1475464	2.30	0.82	0.55	1193390

0.2				0.1			
X	Y	F		X	Y	F	
3.34	1.22	0.73	659555	1.67	0.61	0.44	397540
1.81	0.56	0.39	678834	0.90	0.28	0.21	365526
1.26	0.57	0.27	753516	0.63	0.18	0.14	390712
1.13	0.33	0.24	779976	0.56	0.17	0.13	422487
1.21	0.27	0.27	720576	0.60	0.18	0.14	373632
1.54	0.54	0.39	846222	0.77	0.27	0.21	455658